

Informativo Epidemiológico

Ano 08, nº 1, julho de 2019



Subsecretaria de Vigilância à Saúde | Secretaria de Saúde do Distrito Federal

Comportamento epidemiológico das hepatites virais B, C e D no Distrito Federal entre 2008 a 2018

Introdução

As hepatites virais são doenças infecciosas causadas por diferentes vírus, que têm em comum o tropismo primário pelo tecido hepático. Nem sempre a infecção por esses vírus apresenta sinais e sintomas, mas esses, quando presentes, incluem frequentemente febre, fraqueza, mal-estar, dor abdominal, enjojo/náuseas, perda de apetite, urina escura, icterícia (olhos e pele amarelados) e fezes esbranquiçadas. As hepatites virais representam um grave problema de saúde pública no Brasil e no mundo. Sabe-se que 400 milhões de pessoas em todo o mundo estão infectadas com o vírus da hepatite B (HBV) e aproximadamente 175 milhões de pessoas infectadas com vírus da hepatite C (HCV).

Neste informativo epidemiológico serão abordadas as hepatites virais B, C e D que são transmitidas pelo sangue (via parenteral, percutânea e vertical), sêmen e secreção vaginal (via sexual). A transmissão pode ocorrer pelo compartilhamento de objetos contaminados, como lâminas de barbear ou depilar, escovas de dente, alicates e acessórios de manicure e pedicure, materiais para colocação de *piercing* e para confecção de tatuagens, materiais para escarificação da pele para rituais, instrumentos para uso de substâncias injetáveis, inaláveis (cocaína) e pipadas (crack). Pode ocorrer a transmissão também em acidentes com exposição a

material biológico, procedimentos cirúrgicos, odontológicos, hemodiálise, transfusão, endoscopia, entre outros, quando as normas de biossegurança não são respeitadas.

O objetivo deste informativo é atualizar as informações referentes aos casos de hepatites virais B, C e D registrados no Distrito Federal (DF), nas bases de dados do Sistema de Informação de Agravos de Notificação (Sinan) e do Sistema de Informações sobre Mortalidade (SIM), no período compreendido entre os anos de 2008 a 2018. No Sinan, foram selecionados apenas os casos que utilizaram para a classificação final o critério de confirmação laboratorial.

Cenário epidemiológico das hepatites virais

De 2008 a 2018, foram notificados no Sinan 4.003 casos confirmados de hepatites virais, no Distrito Federal. Desses, 1.804 (45,07%) são referentes aos casos de hepatite B, 2.117 (52,89%) de hepatite C e 2 (0,05%) de hepatite B+D. Tanto as notificações de hepatite B, como as de hepatite C, apresentam um incremento significativo do número de casos em 2016. Nesse ano, foram inseridos no Sinan todos os pacientes diagnosticados com hepatites B e C que estavam cadastrados no sistema de dispensação de medicamentos da Secretaria de Saúde do Distrito Federal (SES/DF) e que não estavam notificados ao longo dos anos. O número de notificações de hepatites B e C ficou estável no período analisado (**Tabela 1**).

Tabela 1. Número de casos confirmados de hepatites virais, segundo agente etiológico e ano de notificação. Distrito Federal, 2008 a 2018.

| Class. Etiológica | 2008 | 2009 | 2010 | 2011 | 2012 | 2013 | 2014 | 2015 | 2016 | 2017 | 2018 | Total |
|-------------------|------------|------------|------------|------------|------------|------------|------------|------------|------------|------------|------------|-------------|
| Vírus B | 140 | 199 | 155 | 138 | 132 | 177 | 156 | 117 | 374 | 91 | 125 | 1804 |
| Vírus C | 136 | 246 | 215 | 199 | 193 | 169 | 164 | 105 | 443 | 124 | 123 | 2117 |
| Vírus B + D | 1 | 0 | 0 | 0 | 0 | 0 | 0 | 1 | 0 | 0 | 0 | 2 |
| Vírus B + C | 6 | 14 | 1 | 18 | 8 | 7 | 11 | 2 | 3 | 3 | 3 | 76 |
| Vírus A + B | 0 | 1 | 0 | 0 | 0 | 0 | 0 | 0 | 0 | 2 | 0 | 3 |
| Vírus A + C | 0 | 0 | 0 | 0 | 0 | 1 | 0 | 0 | 0 | 0 | 0 | 1 |
| Total | 283 | 460 | 371 | 355 | 333 | 354 | 331 | 225 | 820 | 220 | 251 | 4003 |

Fonte: SINAN: Dados provisórios digitados até 22/05/2019.

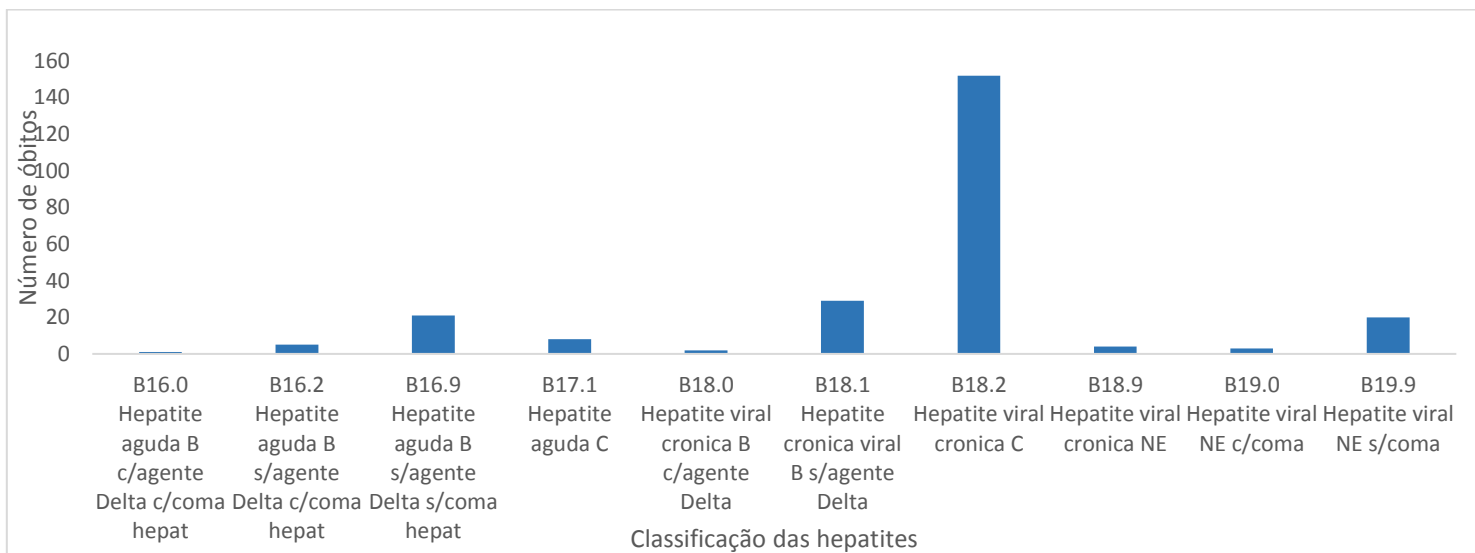
De 2008 a 2018, foram registrados no DF, no Sistema de Informações sobre Mortalidade (SIM), 245 óbitos por hepatites virais dos tipos B, C ou D, como causa básica. Desses, 62% tiveram como causa básica a hepatite viral

crônica C; 11,8% a hepatite viral crônica B sem agente delta e 0,8% a hepatite viral crônica B com agente delta (**Tabela 2 e gráfico 1**).

Tabela 2. Óbitos por hepatites virais, exceto A e E, por tipo e ano do óbito em residentes no Distrito Federal, 2008 a 2018*.

| CID10 4C Cap 01 | 2008 | 2009 | 2010 | 2011 | 2012 | 2013 | 2014 | 2015 | 2016 | 2017 | 2018* | Total |
|--|-----------|-----------|-----------|-----------|-----------|-----------|-----------|-----------|-----------|-----------|-----------|------------|
| B16.0 Hepatite aguda B c/agente Delta c/coma hepat | 0 | 0 | 0 | 0 | 0 | 1 | 0 | 0 | 0 | 0 | 0 | 1 |
| B16.2 Hepatite aguda B s/agente Delta c/coma hepat | 1 | 0 | 0 | 0 | 0 | 2 | 2 | 0 | 0 | 0 | 0 | 5 |
| B16.9 Hepatite aguda B s/agente Delta s/coma hepat | 3 | 2 | 1 | 1 | 2 | 2 | 0 | 4 | 3 | 1 | 2 | 21 |
| B17.1 Hepatite aguda C | 3 | 0 | 0 | 2 | 2 | 0 | 0 | 0 | 1 | 0 | 0 | 8 |
| B18.0 Hepatite viral crônica B c/agente Delta | 0 | 0 | 0 | 0 | 0 | 1 | 1 | 0 | 0 | 0 | 0 | 2 |
| B18.1 Hepatite crônica viral B s/agente Delta | 0 | 2 | 4 | 4 | 1 | 5 | 2 | 3 | 3 | 3 | 2 | 29 |
| B18.2 Hepatite viral crônica C | 14 | 14 | 11 | 17 | 17 | 20 | 12 | 10 | 15 | 11 | 11 | 152 |
| B18.9 Hepatite viral crônica NE | 2 | 0 | 0 | 0 | 1 | 0 | 0 | 0 | 0 | 1 | 0 | 4 |
| B19.0 Hepatite viral NE c/coma | 0 | 2 | 0 | 0 | 1 | 0 | 0 | 0 | 0 | 0 | 0 | 3 |
| B19.9 Hepatite viral NE s/coma | 2 | 3 | 1 | 3 | 2 | 1 | 2 | 2 | 1 | 1 | 2 | 20 |
| Total | 25 | 23 | 17 | 27 | 26 | 32 | 19 | 19 | 23 | 17 | 17 | 245 |

Fonte: SIM – GIAS/ DIVEP/ SVS/ SESDF. * 2018 – Dados provisórios.



Fonte: SIM – GIISS/ DIVEP/ SVS/ SESDF. * 2018 – Dados provisórios

Gráfico 1. Óbitos por hepatites virais, exceto A e E, por tipo e ano do óbito em residentes no Distrito Federal, 2008 a 2018*.

Epidemiologia da hepatite B

A hepatite B tem elevada transmissibilidade e importante impacto na saúde pública brasileira. O vírus da hepatite B (HBV), causador da doença, é um vírus de DNA e pertence à família *Hepadnaviridae*. Todos os vírus pertencentes a essa família possuem as mesmas características: uma dupla fita incompleta e a enzima transcriptase reversa, responsável pela replicação do genoma viral.

O HBV é considerado oncogênico e apresenta dez genótipos classificados de A a J, que são diferenciados entre si pela patogenicidade e sequência de nucleotídeo, sendo alguns classificados ainda em subgenótipos. Os subgenótipos mais comuns no Brasil são A1, A2, F2a e F4. Segundo a

Organização Mundial da Saúde (OMS), aproximadamente dois bilhões de indivíduos, cerca de um terço da população mundial, já teve contato com o HBV; desses, 240 milhões têm a forma crônica da Hepatite B.

No período de 2008 a 2018, foram notificados 1885 casos de hepatite B no Distrito Federal. A maior parte dos casos está concentrada na Superintendência Sudoeste (30,3%), seguida das Superintendências Norte (14,7%), Oeste (14,4%), Central (10,7%), Centro-Sul (10,3%), Leste (9,2%) e Sul (8,5%). Dentre as regiões administrativas, a com maior número de casos é a Ceilândia (12,5%), seguida da Samambaia (11,6%) (**Tabela 3**).

Tabela 3. Número de casos confirmados de hepatite B segundo local de residência e ano de notificação. Distrito Federal 2008 a 2018.

| Superintendência | 2008 | 2009 | 2010 | 2011 | 2012 | 2013 | 2014 | 2015 | 2016 | 2017 | 2018 | Total |
|-------------------|-----------|-----------|-----------|-----------|-----------|-----------|-----------|----------|-----------|-----------|-----------|------------|
| CENTRAL | 9 | 22 | 7 | 9 | 9 | 18 | 17 | 7 | 85 | 8 | 10 | 201 |
| Asa Norte | 4 | 11 | 3 | 3 | 4 | 5 | 4 | 2 | 24 | 3 | 2 | 65 |
| Asa Sul | 0 | 4 | 2 | 2 | 2 | 4 | 2 | 3 | 13 | 4 | 4 | 40 |
| Cruzeiro | 0 | 4 | 1 | 3 | 1 | 1 | 5 | 2 | 10 | 1 | 1 | 29 |
| Lago Norte | 3 | 0 | 0 | 1 | 0 | 5 | 2 | 0 | 6 | 0 | 2 | 19 |
| Lago Sul | 2 | 1 | 1 | 0 | 1 | 0 | 2 | 0 | 19 | 0 | 0 | 26 |
| Sudoeste/Oct | 0 | 2 | 0 | 0 | 1 | 0 | 1 | 0 | 12 | 0 | 0 | 16 |
| Varjão do Torto | 0 | 0 | 0 | 0 | 0 | 3 | 1 | 0 | 1 | 0 | 1 | 6 |
| CENTRO-SUL | 20 | 20 | 13 | 25 | 11 | 16 | 17 | 6 | 33 | 16 | 17 | 194 |



| | | | | | | | | | | | | |
|-------------------|------------|------------|------------|------------|------------|------------|------------|------------|------------|-----------|------------|-------------|
| Candangolândia | 1 | 2 | 1 | 1 | 0 | 0 | 1 | 1 | 0 | 3 | 0 | 10 |
| Guará | 11 | 10 | 6 | 15 | 6 | 12 | 6 | 1 | 17 | 5 | 9 | 98 |
| Núcleo | | | | | | | | | | | | |
| Bandeirante | 4 | 2 | 0 | 1 | 0 | 0 | 1 | 2 | 2 | 0 | 1 | 13 |
| Park Way | 0 | 0 | 0 | 0 | 1 | 1 | 2 | 0 | 3 | 0 | 0 | 7 |
| Riacho Fundo I | 4 | 2 | 3 | 1 | 1 | 2 | 3 | 0 | 5 | 1 | 4 | 26 |
| Riacho Fundo II | 0 | 0 | 3 | 4 | 1 | 0 | 1 | 0 | 3 | 3 | 2 | 17 |
| SCIA (Estrutural) | 0 | 4 | 0 | 3 | 2 | 1 | 3 | 2 | 3 | 4 | 1 | 23 |
| SIA | 0 | 0 | 0 | 0 | 0 | 0 | 0 | 0 | 0 | 0 | 0 | 0 |
| LESTE | 11 | 24 | 9 | 17 | 13 | 22 | 20 | 10 | 26 | 11 | 11 | 174 |
| Itapoã | 1 | 1 | 1 | 2 | 1 | 6 | 5 | 4 | 4 | 2 | 3 | 30 |
| Jardim Botânico | 0 | 0 | 0 | 0 | 1 | 0 | 0 | 0 | 2 | 0 | 0 | 3 |
| Paranoá | 3 | 2 | 3 | 3 | 5 | 9 | 4 | 2 | 9 | 6 | 3 | 49 |
| São Sebastião | 7 | 21 | 5 | 12 | 6 | 7 | 11 | 4 | 11 | 3 | 5 | 92 |
| NORTE | 26 | 31 | 33 | 21 | 26 | 22 | 16 | 22 | 52 | 14 | 15 | 278 |
| Fercal | 0 | 0 | 0 | 0 | 0 | 0 | 1 | 0 | 0 | 0 | 0 | 1 |
| Planaltina | 19 | 16 | 28 | 15 | 21 | 14 | 12 | 14 | 18 | 10 | 8 | 175 |
| Sobradinho | 6 | 9 | 3 | 4 | 2 | 4 | 2 | 5 | 29 | 3 | 5 | 72 |
| Sobradinho II | 1 | 6 | 2 | 2 | 3 | 4 | 1 | 3 | 5 | 1 | 2 | 30 |
| OESTE | 23 | 40 | 34 | 26 | 25 | 32 | 24 | 11 | 36 | 8 | 12 | 271 |
| Brazlândia | 5 | 8 | 7 | 3 | 0 | 4 | 3 | 1 | 2 | 1 | 2 | 36 |
| Ceilândia | 18 | 32 | 27 | 23 | 25 | 28 | 21 | 10 | 34 | 7 | 10 | 235 |
| SUDOESTE | 48 | 57 | 41 | 48 | 41 | 54 | 55 | 50 | 100 | 28 | 49 | 571 |
| Águas Claras | 5 | 6 | 4 | 5 | 2 | 5 | 1 | 6 | 16 | 0 | 4 | 54 |
| Recanto das Emas | 4 | 13 | 4 | 9 | 12 | 13 | 22 | 15 | 9 | 7 | 4 | 112 |
| Samambaia | 24 | 15 | 21 | 24 | 13 | 23 | 20 | 19 | 26 | 10 | 23 | 218 |
| Taguatinga | 15 | 23 | 12 | 10 | 13 | 13 | 10 | 9 | 44 | 11 | 15 | 175 |
| Vicente Pires | 0 | 0 | 0 | 0 | 1 | 0 | 2 | 1 | 5 | 0 | 3 | 12 |
| SUL | 10 | 17 | 19 | 9 | 11 | 19 | 16 | 11 | 33 | 5 | 11 | 161 |
| Gama | 6 | 9 | 3 | 4 | 4 | 8 | 10 | 8 | 16 | 3 | 5 | 76 |
| Santa Maria | 4 | 8 | 16 | 5 | 7 | 11 | 6 | 3 | 17 | 2 | 6 | 85 |
| Em Branco | 0 | 3 | 0 | 1 | 4 | 1 | 2 | 3 | 12 | 6 | 3 | 35 |
| Total | 147 | 214 | 156 | 156 | 140 | 184 | 167 | 120 | 377 | 96 | 128 | 1885 |

Fonte: SINAN: Dados provisórios digitados até 22/05/2019.

Com relação à distribuição dos casos de hepatite B em 2018, a Superintendência Sudoeste apresentou maior coeficiente de detecção (5,9 casos para cada 100.000 habitantes),

seguida das Superintendências Centro-Sul, Leste, Norte, Sul, Oeste e Central (**Tabela 4**).



Tabela 4. Coeficiente de detecção de hepatite B, por 100.000 habitantes, segundo local de residência e ano de notificação. Distrito Federal, 2008 a 2018.

| Superintendência | 2008 | 2009 | 2010 | 2011 | 2012 | 2013 | 2014 | 2015 | 2016 | 2017 | 2018 |
|-------------------------|-------------|-------------|-------------|-------------|-------------|-------------|-------------|-------------|-------------|-------------|-------------|
| CENTRAL | 2,2 | 5,2 | 1,9 | 2,5 | 2,4 | 4,5 | 4,2 | 1,7 | 19,7 | 1,7 | 2,2 |
| Asa Norte | 3,4 | 9,1 | 2,5 | 2,4 | 3,2 | 3,8 | 2,9 | 1,4 | 16,7 | 1,9 | 1,3 |
| Asa Sul | 0,0 | 3,2 | 2,4 | 2,3 | 2,3 | 4,3 | 2,1 | 3,0 | 12,6 | 3,6 | 3,7 |
| Cruzeiro | 0,0 | 7,9 | 2,9 | 8,5 | 2,8 | 2,6 | 12,8 | 5,0 | 24,3 | 2,3 | 2,3 |
| Lago Norte | 10,7 | 0,0 | 0,0 | 3,1 | 0,0 | 14,1 | 5,5 | 0,0 | 15,5 | 0,0 | 4,9 |
| Lago Sul | 6,7 | 3,3 | 3,4 | 0,0 | 3,3 | 0,0 | 5,9 | 0,0 | 52,9 | 0,0 | 0,0 |
| Sudoeste/Octogonal | 0,0 | 3,4 | 0,0 | 0,0 | 1,9 | 0,0 | 1,8 | 0,0 | 20,5 | 0,0 | 0,0 |
| Varjão do Torto | 0,0 | 0,0 | 0,0 | 0,0 | 0,0 | 29,8 | 9,8 | 0,0 | 9,5 | 0,0 | 9,2 |
| CENTRO-SUL | 7,2 | 7,1 | 4,8 | 9,1 | 3,9 | 5,4 | 5,6 | 1,9 | 10,5 | 4,7 | 5,2 |
| Candangolândia | 6,0 | 11,8 | 6,3 | 6,2 | 0,0 | 0,0 | 5,7 | 5,5 | 0,0 | 14,9 | 0,0 |
| Guará | 8,1 | 7,3 | 5,6 | 13,8 | 5,5 | 10,3 | 5,0 | 0,8 | 13,5 | 3,7 | 6,8 |
| Núcleo Bandeirante | 14,5 | 7,1 | 0,0 | 4,0 | 0,0 | 0,0 | 3,7 | 7,1 | 7,0 | 0,0 | 3,3 |
| Park Way | 0,0 | 0,0 | 0,0 | 0,0 | 5,1 | 4,8 | 9,3 | 0,0 | 13,2 | 0,0 | 0,0 |
| Riacho Fundo I | 12,6 | 6,2 | 8,4 | 2,7 | 2,7 | 5,1 | 7,5 | 0,0 | 12,1 | 2,2 | 9,3 |
| Riacho Fundo II | 0,0 | 0,0 | 8,3 | 11,0 | 2,7 | 0,0 | 2,5 | 0,0 | 7,3 | 6,7 | 4,7 |
| SCIA (Estrutural) | 0,0 | 22,2 | 0,0 | 9,7 | 6,4 | 3,1 | 9,1 | 6,0 | 8,8 | 10,5 | 2,9 |
| SIA | 0,0 | 0,0 | 0,0 | 0,0 | 0,0 | 0,0 | 0,0 | 0,0 | 0,0 | 0,0 | 0,0 |
| LESTE | 5,8 | 12,4 | 4,4 | 8,1 | 6,1 | 9,9 | 8,9 | 4,4 | 11,1 | 4,3 | 4,6 |
| Itapoã | 1,8 | 1,7 | 2,2 | 4,3 | 2,1 | 12,3 | 10,1 | 8,0 | 7,9 | 3,5 | 5,7 |
| Jardim Botânico | 0,0 | 0,0 | 0,0 | 0,0 | 4,9 | 0,0 | 0,0 | 0,0 | 8,6 | 0,0 | 0,0 |
| Paranoá | 6,2 | 4,1 | 5,4 | 5,4 | 8,8 | 15,1 | 6,6 | 3,2 | 14,3 | 8,6 | 4,6 |
| São Sebastião | 10,5 | 31,0 | 5,9 | 13,9 | 6,8 | 7,6 | 11,8 | 4,2 | 11,4 | 2,8 | 5,0 |
| NORTE | 7,6 | 8,9 | 10,0 | 6,3 | 7,7 | 6,2 | 4,4 | 5,9 | 13,7 | 3,4 | 3,8 |
| Fercal | 0,0 | 0,0 | 0,0 | 0,0 | 0,0 | 0,0 | 10,2 | 0,0 | 0,0 | 0,0 | 0,0 |
| Planaltina | 11,0 | 9,1 | 16,3 | 8,6 | 11,9 | 7,6 | 6,3 | 7,3 | 9,2 | 4,6 | 3,9 |
| Sobradinho | 8,0 | 11,8 | 3,9 | 5,1 | 2,5 | 4,8 | 2,3 | 5,7 | 32,3 | 3,1 | 5,3 |
| Sobradinho II | 1,1 | 6,7 | 2,7 | 2,7 | 4,0 | 5,1 | 1,2 | 3,6 | 6,0 | 1,1 | 2,3 |
| OESTE | 4,9 | 8,4 | 7,4 | 5,6 | 5,3 | 6,4 | 4,7 | 2,1 | 6,8 | 1,4 | 2,2 |
| Brazlândia | 8,4 | 13,1 | 12,2 | 5,1 | 0,0 | 6,4 | 4,7 | 1,5 | 3,0 | 1,4 | 2,9 |
| Ceilândia | 4,4 | 7,7 | 6,7 | 5,6 | 6,0 | 6,4 | 4,7 | 2,2 | 7,3 | 1,4 | 2,1 |
| SUDOESTE | 7,0 | 8,1 | 5,9 | 6,9 | 5,8 | 7,2 | 7,2 | 6,4 | 12,6 | 3,2 | 5,9 |
| Águas Claras | 9,4 | 11,1 | 3,9 | 4,8 | 1,9 | 4,5 | 0,9 | 5,2 | 13,6 | 0,0 | 3,3 |
| Recanto das Emas | 3,2 | 10,2 | 3,2 | 7,1 | 9,3 | 9,6 | 16,0 | 10,7 | 6,3 | 4,5 | 2,7 |
| Samambaia | 13,3 | 8,2 | 10,5 | 11,8 | 6,3 | 10,7 | 9,1 | 8,5 | 11,4 | 4,0 | 9,7 |
| Taguatinga | 5,5 | 8,3 | 5,9 | 4,8 | 6,2 | 5,9 | 4,4 | 3,9 | 18,4 | 4,3 | 6,0 |
| Vicente Pires | 0,0 | 0,0 | 0,0 | 0,0 | 1,6 | 0,0 | 3,1 | 1,5 | 7,3 | 0,0 | 4,2 |
| SUL | 4,1 | 6,8 | 7,5 | 3,5 | 4,2 | 7,0 | 5,7 | 3,9 | 11,3 | 1,6 | 3,6 |
| Gama | 4,4 | 6,5 | 2,2 | 2,9 | 2,9 | 5,5 | 6,7 | 5,2 | 10,3 | 1,8 | 3,1 |
| Santa Maria | 3,7 | 7,2 | 13,5 | 4,2 | 5,8 | 8,6 | 4,6 | 2,3 | 12,6 | 1,3 | 4,3 |
| Em Branco | ** | ** | ** | ** | ** | ** | ** | ** | ** | ** | ** |
| Total | 5,7 | 8,2 | 6,1 | 6,0 | 5,3 | 6,6 | 5,9 | 4,1 | 12,7 | 3,2 | 4,1 |

Fonte: SINAN: Dados provisórios digitados até 22/05/2019.



Em relação à hepatite B, segundo faixa etária, verifica-se que, em ambos os sexos, há predominância da fase adulta, entre 30 a 39 anos, correspondendo a 26,7 % dos casos (Tabela 5).

Tabela 5. Distribuição de casos confirmados de hepatite B, segundo faixa etária e sexo. Distrito Federal, 2008 a 2018.

| Faixa Etária | 2008 | 2009 | 2010 | 2011 | 2012 | 2013 | 2014 | 2015 | 2016 | 2017 | 2018 | Total |
|----------------|------------|------------|------------|------------|------------|------------|------------|------------|------------|-----------|------------|-------------|
| Menor 1 ano | 1 | 0 | 0 | 1 | 0 | 0 | 0 | 0 | 2 | 0 | 0 | 4 |
| 1 a 4 anos | 0 | 0 | 0 | 0 | 0 | 0 | 0 | 0 | 0 | 0 | 0 | 0 |
| 5 a 9 anos | 2 | 1 | 0 | 0 | 0 | 0 | 0 | 0 | 0 | 0 | 0 | 3 |
| 10 a 14 anos | 2 | 3 | 0 | 2 | 0 | 0 | 0 | 0 | 0 | 0 | 1 | 8 |
| 15 a 19 anos | 7 | 7 | 5 | 9 | 5 | 6 | 3 | 2 | 1 | 2 | 4 | 51 |
| 20 a 29 anos | 38 | 58 | 43 | 34 | 34 | 46 | 36 | 32 | 44 | 16 | 16 | 397 |
| 30 a 39 anos | 37 | 60 | 51 | 46 | 36 | 51 | 52 | 24 | 83 | 23 | 40 | 503 |
| 40 a 49 anos | 32 | 40 | 33 | 39 | 35 | 37 | 35 | 25 | 102 | 20 | 25 | 423 |
| 50 a 59 anos | 20 | 31 | 12 | 18 | 19 | 20 | 24 | 16 | 78 | 17 | 25 | 280 |
| 60 a 69 anos | 6 | 8 | 7 | 5 | 7 | 21 | 14 | 11 | 51 | 13 | 9 | 152 |
| 70 a 79 anos | 1 | 5 | 3 | 2 | 4 | 3 | 3 | 8 | 15 | 5 | 6 | 55 |
| 80 anos e mais | 1 | 1 | 2 | 0 | 0 | 0 | 0 | 2 | 1 | 0 | 2 | 9 |
| Total | 147 | 214 | 156 | 156 | 140 | 184 | 167 | 120 | 377 | 96 | 128 | 1885 |

Masculino

| Faixa Etária | 2008 | 2009 | 2010 | 2011 | 2012 | 2013 | 2014 | 2015 | 2016 | 2017 | 2018 | Total |
|----------------|-----------|------------|-----------|-----------|-----------|------------|-----------|-----------|------------|-----------|-----------|-------------|
| Menor 1 ano | 0 | 0 | 0 | 1 | 0 | 0 | 0 | 0 | 1 | 0 | 0 | 2 |
| 1 a 4 anos | 0 | 0 | 0 | 0 | 0 | 0 | 0 | 0 | 0 | 0 | 0 | 0 |
| 5 a 9 anos | 1 | 0 | 0 | 0 | 0 | 0 | 0 | 0 | 0 | 0 | 0 | 1 |
| 10 a 14 anos | 1 | 1 | 0 | 0 | 0 | 0 | 0 | 0 | 0 | 0 | 0 | 2 |
| 15 a 19 anos | 1 | 4 | 1 | 4 | 2 | 1 | 2 | 1 | 0 | 1 | 2 | 19 |
| 20 a 29 anos | 22 | 25 | 23 | 14 | 14 | 25 | 17 | 13 | 24 | 9 | 8 | 194 |
| 30 a 39 anos | 23 | 34 | 27 | 19 | 17 | 28 | 26 | 12 | 52 | 10 | 18 | 266 |
| 40 a 49 anos | 27 | 22 | 20 | 17 | 18 | 24 | 22 | 11 | 67 | 13 | 13 | 254 |
| 50 a 59 anos | 15 | 18 | 6 | 13 | 12 | 13 | 16 | 9 | 48 | 12 | 16 | 178 |
| 60 a 69 anos | 5 | 6 | 5 | 4 | 3 | 11 | 8 | 7 | 27 | 6 | 4 | 86 |
| 70 a 79 anos | 0 | 3 | 2 | 2 | 2 | 2 | 3 | 3 | 12 | 5 | 4 | 38 |
| 80 anos e mais | 1 | 0 | 2 | 0 | 0 | 0 | 0 | 2 | 1 | 0 | 1 | 7 |
| Total | 96 | 113 | 86 | 74 | 68 | 104 | 94 | 58 | 232 | 56 | 66 | 1047 |

Feminino

| Faixa Etária | 2008 | 2009 | 2010 | 2011 | 2012 | 2013 | 2014 | 2015 | 2016 | 2017 | 2018 | Total |
|--------------|------|------|------|------|------|------|------|------|------|------|------|-------|
| Menor 1 ano | 0 | 0 | 0 | 0 | 0 | 0 | 0 | 0 | 1 | 0 | 0 | 1 |
| 1 a 4 anos | 0 | 0 | 0 | 0 | 0 | 0 | 0 | 0 | 0 | 0 | 0 | 0 |
| 5 a 9 anos | 1 | 1 | 0 | 0 | 0 | 0 | 0 | 0 | 0 | 0 | 0 | 2 |
| 10 a 14 anos | 1 | 2 | 0 | 2 | 0 | 0 | 0 | 0 | 0 | 0 | 1 | 6 |
| 15 a 19 anos | 6 | 3 | 4 | 5 | 3 | 5 | 1 | 1 | 1 | 1 | 2 | 32 |
| 20 a 29 anos | 16 | 33 | 20 | 20 | 20 | 21 | 19 | 19 | 20 | 7 | 8 | 203 |
| 30 a 39 anos | 14 | 26 | 24 | 27 | 19 | 23 | 26 | 12 | 31 | 13 | 22 | 237 |
| 40 a 49 anos | 5 | 18 | 13 | 22 | 17 | 13 | 13 | 14 | 35 | 7 | 12 | 169 |
| 50 a 59 anos | 5 | 13 | 6 | 5 | 7 | 7 | 8 | 7 | 30 | 5 | 9 | 102 |
| 60 a 69 anos | 1 | 2 | 2 | 1 | 4 | 10 | 6 | 4 | 24 | 7 | 5 | 66 |
| 70 a 79 anos | 1 | 2 | 1 | 0 | 2 | 1 | 0 | 5 | 3 | 0 | 2 | 17 |

| | | | | | | | | | | | | |
|----------------|-----------|------------|-----------|-----------|-----------|-----------|-----------|-----------|------------|-----------|-----------|------------|
| 80 anos e mais | 0 | 1 | 0 | 0 | 0 | 0 | 0 | 0 | 0 | 0 | 1 | 2 |
| Total | 50 | 101 | 70 | 82 | 72 | 80 | 73 | 62 | 145 | 40 | 62 | 837 |

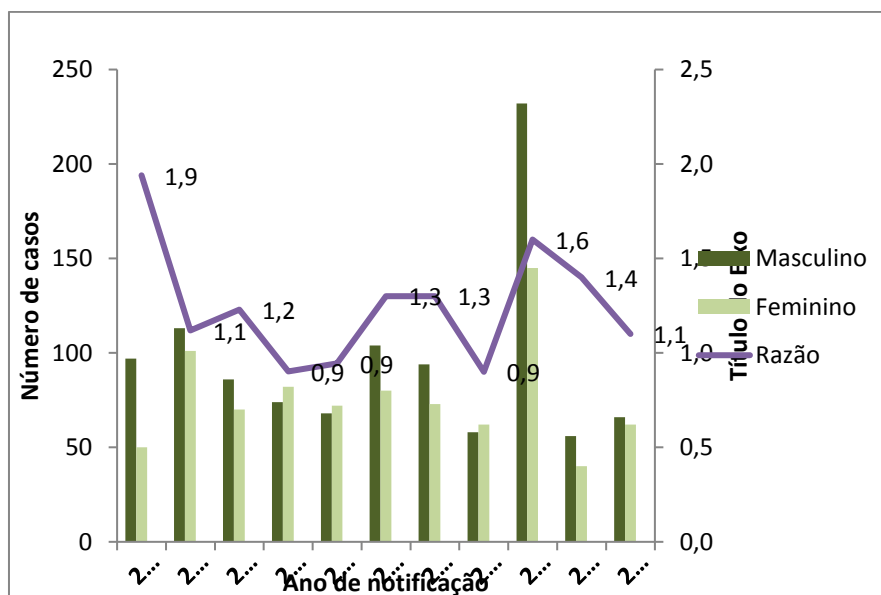
Fonte: SINAN: Dados provisórios digitados até 22/05/2019.

A razão entre os sexos masculino e feminino (M:F) está na média de 1,3 homens para cada mulher com hepatite B, contudo ambos os sexos apresentam variações no coeficiente de detecção ao longo dos anos (**Tabela 6 e gráfico 2**).

Tabela 6. Distribuição de casos confirmados de hepatite B, por sexo e ano de notificação; razão e coeficiente de detecção por 100.000 habitantes), Distrito Federal, 2008 a 2018.

| Ano da Notificação | Número de casos | | | Razão | Coeficiente de detecção | | |
|--------------------|-----------------|------------|-------------|------------|-------------------------|------------|------------|
| | Masculino | Feminino | Total | | Masculino | Feminino | Total |
| 2008 | 97 | 50 | 147 | 1,9 | 7,9 | 3,7 | 5,7 |
| 2009 | 113 | 101 | 214 | 1,1 | 9,1 | 7,4 | 8,2 |
| 2010 | 86 | 70 | 156 | 1,2 | 7,0 | 5,2 | 6,1 |
| 2011 | 74 | 82 | 156 | 0,9 | 5,9 | 6,0 | 6,0 |
| 2012 | 68 | 72 | 140 | 0,9 | 5,4 | 5,2 | 5,3 |
| 2013 | 104 | 80 | 184 | 1,3 | 7,8 | 5,5 | 6,6 |
| 2014 | 94 | 73 | 167 | 1,3 | 6,9 | 4,9 | 5,9 |
| 2015 | 58 | 62 | 120 | 0,9 | 4,2 | 4,0 | 4,1 |
| 2016 | 232 | 145 | 377 | 1,6 | 16,5 | 9,3 | 12,7 |
| 2017 | 56 | 40 | 96 | 1,4 | 3,9 | 2,5 | 3,2 |
| 2018 | 66 | 62 | 128 | 1,1 | 4,5 | 3,8 | 4,1 |
| Total | 1048 | 837 | 1885 | 1,3 | 7,2 | 5,2 | 6,1 |

Fonte: SINAN: Dados provisórios digitados até 22/05/2019.



Fonte: SINAN: Dados provisórios digitados até 22/05/2019.

Gráfico 2. Distribuição de casos confirmados de hepatite B, por sexo e ano de notificação. Distrito Federal, 2008 a 2018.



De 2008 a 2018, foram identificados no DF, 187 gestantes com hepatite B, o que representa 9,9% do total de casos nesse período. Ressalta-se que a maior parte dos

diagnósticos foi feita no segundo ou no terceiro trimestre (75,4%) (**Tabela 7**).

Tabela 7. Distribuição de casos confirmados de hepatite B em gestantes, por trimestre de diagnóstico. Distrito Federal, 2008 a 2018.

| Gestante | 2008 | 2009 | 2010 | 2011 | 2012 | 2013 | 2014 | 2015 | 2016 | 2017 | 2018 | Total |
|----------------------------|----------|-----------|-----------|-----------|-----------|-----------|-----------|-----------|-----------|----------|-----------|------------|
| 1º Trimestre | 0 | 9 | 3 | 2 | 7 | 5 | 4 | 3 | 9 | 0 | 2 | 44 |
| 2º Trimestre | 2 | 12 | 10 | 9 | 8 | 7 | 6 | 12 | 4 | 5 | 4 | 79 |
| 3º Trimestre | 4 | 6 | 7 | 9 | 10 | 2 | 8 | 3 | 4 | 2 | 7 | 62 |
| Idade gestacional ignorada | 1 | 0 | 0 | 0 | 0 | 0 | 0 | 0 | 1 | 0 | 0 | 2 |
| Total | 7 | 27 | 20 | 20 | 25 | 14 | 18 | 18 | 18 | 7 | 13 | 187 |

Fonte: SINAN: Dados provisórios digitados até 22/05/2019.

Quanto ao critério forma clínica, percebe-se que, do total de casos detectados, a hepatite B aguda representa 19,9% dos

casos, a hepatite B crônica 73,3% e a forma fulminante 0,1% (**Tabela 8**).

Tabela 8. Distribuição de casos confirmados de hepatite B, segundo forma clínica e ano de notificação. Distrito Federal, 2008 a 2018.

| Forma Clínica | 2008 | 2009 | 2010 | 2011 | 2012 | 2013 | 2014 | 2015 | 2016 | 2017 | 2018 | Total |
|---------------------------|------------|------------|------------|------------|------------|------------|------------|------------|------------|-----------|------------|-------------|
| Hepatite Aguda | 38 | 51 | 34 | 37 | 42 | 43 | 42 | 29 | 27 | 10 | 22 | 375 |
| Hepatite Crônica/Portador | 95 | 151 | 115 | 104 | 88 | 125 | 108 | 83 | 339 | 75 | 99 | 1382 |
| Hepatite Fulminante | 1 | 0 | 0 | 0 | 0 | 0 | 0 | 0 | 0 | 0 | 0 | 1 |
| Inconclusivo | 9 | 7 | 7 | 6 | 3 | 6 | 7 | 2 | 2 | 9 | 2 | 60 |
| Ign/Branco | 4 | 5 | 0 | 9 | 7 | 10 | 10 | 6 | 9 | 2 | 5 | 67 |
| Total | 147 | 214 | 156 | 156 | 140 | 184 | 167 | 120 | 377 | 96 | 128 | 1885 |

Fonte: SINAN: Dados provisórios digitados até 22/05/2019.

Epidemiologia da hepatite C

O vírus da hepatite C (HCV) pertence ao gênero *Hepacivirus*, família *Flaviviridae*. Sua estrutura genômica é composta por uma fita simples de ácido ribonucleico (RNA), de polaridade positiva, com aproximadamente 9.400 nucleotídeos. O HCV possui, pelo menos, sete genótipos e 67 subtipos do vírus.

O HCV é prevalente em todo o mundo e possui uma ampla distribuição geográfica. De acordo com a Organização Mundial da Saúde (OMS), aproximadamente 1% da

população mundial está infectada pelo HCV, existindo cerca de 71 milhões de pessoas infectadas cronicamente.

No período de 2008 a 2018, foram notificados 2.194 casos de hepatite C no Distrito Federal; desses, a maior parte está concentrada na Superintendência Sudoeste (27,6%), seguida das Superintendências Central (15%), Norte (14,8%), Oeste (13,1%), Centro-Sul (10,8%), Leste (8,2%) e Sul (8,1%). Dentre as regiões administrativas, a com maior número de casos é a Ceilândia (12%), seguida de Taguatinga (11%) (**Tabela 9**).

Tabela 9. Número de casos confirmados de hepatite C, segundo local de residência e ano de notificação. Distrito Federal 2008 a 2018.

| Superintendência | 2008 | 2009 | 2010 | 2011 | 2012 | 2013 | 2014 | 2015 | 2016 | 2017 | 2018 | Total |
|-------------------------|-------------|-------------|-------------|-------------|-------------|-------------|-------------|-------------|-------------|-------------|-------------|--------------|
| CENTRAL | 25 | 31 | 23 | 18 | 23 | 33 | 22 | 10 | 116 | 15 | 13 | 329 |
| Asa Norte | 8 | 12 | 7 | 2 | 5 | 11 | 8 | 4 | 52 | 4 | 6 | 119 |
| Asa Sul | 5 | 8 | 7 | 8 | 12 | 7 | 7 | 3 | 28 | 5 | 4 | 94 |
| Cruzeiro | 3 | 3 | 5 | 4 | 2 | 7 | 1 | 1 | 3 | 3 | 1 | 33 |
| Lago Norte | 5 | 2 | 3 | 2 | 1 | 3 | 3 | 1 | 9 | 2 | 0 | 31 |
| Lago Sul | 2 | 4 | 1 | 1 | 2 | 1 | 2 | 1 | 12 | 1 | 1 | 28 |
| Sudoeste/Octogonal | 2 | 2 | 0 | 1 | 1 | 3 | 1 | 0 | 12 | 0 | 1 | 23 |
| Varjão do Torto | 0 | 0 | 0 | 0 | 0 | 1 | 0 | 0 | 0 | 0 | 0 | 1 |
| CENTRO-SUL | 22 | 20 | 17 | 19 | 16 | 19 | 15 | 9 | 70 | 12 | 17 | 236 |
| Candangolândia | 0 | 2 | 1 | 1 | 5 | 1 | 0 | 3 | 7 | 0 | 2 | 22 |
| Guará | 12 | 7 | 10 | 8 | 8 | 10 | 8 | 2 | 34 | 10 | 7 | 116 |
| Núcleo Bandeirante | 4 | 4 | 2 | 3 | 0 | 3 | 3 | 0 | 7 | 0 | 2 | 28 |
| Park Way | 0 | 0 | 1 | 0 | 1 | 1 | 0 | 0 | 10 | 0 | 1 | 14 |
| Riacho Fundo I | 2 | 3 | 2 | 3 | 1 | 0 | 4 | 2 | 7 | 2 | 2 | 28 |
| Riacho Fundo II | 3 | 0 | 0 | 0 | 1 | 1 | 0 | 2 | 4 | 0 | 3 | 14 |
| SCIA (Estrutural) | 1 | 3 | 1 | 4 | 0 | 3 | 0 | 0 | 1 | 0 | 0 | 13 |
| SIA | 0 | 1 | 0 | 0 | 0 | 0 | 0 | 0 | 0 | 0 | 0 | 1 |
| LESTE | 15 | 39 | 14 | 25 | 24 | 12 | 8 | 13 | 18 | 8 | 5 | 181 |
| Itapoã | 0 | 0 | 0 | 2 | 5 | 3 | 0 | 0 | 3 | 2 | 1 | 16 |
| Jardim Botânico | 0 | 2 | 1 | 1 | 1 | 0 | 0 | 0 | 1 | 1 | 0 | 7 |
| Paranoá | 0 | 0 | 0 | 5 | 6 | 1 | 1 | 6 | 3 | 3 | 2 | 27 |
| São Sebastião | 15 | 37 | 13 | 17 | 12 | 8 | 7 | 7 | 11 | 2 | 2 | 131 |
| NORTE | 30 | 53 | 36 | 45 | 27 | 24 | 22 | 13 | 43 | 18 | 13 | 324 |
| Fercal | 0 | 0 | 0 | 0 | 0 | 0 | 0 | 0 | 1 | 0 | 1 | 2 |
| Planaltina | 18 | 22 | 21 | 28 | 14 | 12 | 14 | 9 | 19 | 3 | 6 | 166 |
| Sobradinho | 10 | 19 | 8 | 13 | 5 | 5 | 8 | 1 | 15 | 11 | 6 | 101 |
| Sobradinho II | 2 | 12 | 7 | 4 | 8 | 7 | 0 | 3 | 8 | 4 | 0 | 55 |
| OESTE | 19 | 28 | 31 | 31 | 30 | 22 | 26 | 14 | 41 | 23 | 22 | 287 |
| Brazlândia | 2 | 3 | 3 | 3 | 5 | 0 | 4 | 1 | 1 | 1 | 1 | 24 |
| Ceilândia | 17 | 25 | 28 | 28 | 25 | 22 | 22 | 13 | 40 | 22 | 21 | 263 |
| SUDOESTE | 23 | 72 | 57 | 57 | 57 | 51 | 69 | 37 | 109 | 31 | 43 | 606 |
| Águas Claras | 1 | 5 | 3 | 1 | 6 | 5 | 7 | 3 | 26 | 3 | 1 | 61 |
| Recanto das Emas | 4 | 14 | 9 | 23 | 15 | 12 | 11 | 7 | 6 | 10 | 11 | 122 |
| Samambaia | 9 | 15 | 12 | 13 | 14 | 15 | 24 | 16 | 25 | 9 | 7 | 159 |
| Taguatinga | 9 | 38 | 33 | 19 | 19 | 16 | 24 | 10 | 47 | 9 | 18 | 242 |
| Vicente Pires | 0 | 0 | 0 | 1 | 3 | 3 | 3 | 1 | 5 | 0 | 6 | 22 |
| SUL | 7 | 15 | 33 | 18 | 19 | 13 | 11 | 9 | 30 | 13 | 9 | 177 |
| Gama | 3 | 8 | 7 | 10 | 8 | 8 | 4 | 5 | 19 | 10 | 6 | 88 |
| Santa Maria | 4 | 7 | 26 | 8 | 11 | 5 | 7 | 4 | 11 | 3 | 3 | 89 |
| Em Branco | 1 | 2 | 5 | 4 | 5 | 3 | 2 | 2 | 19 | 7 | 4 | 54 |
| Total | 142 | 260 | 216 | 217 | 201 | 177 | 175 | 107 | 446 | 127 | 126 | 2194 |

Fonte: SINAN: Dados provisórios digitados até 22/05/2019.



Com relação a distribuição dos casos de hepatite C em 2018, as Superintendências Sudoeste e Centro-Sul apresentaram maior coeficiente de detecção, ambas com 5,2 casos para

cada 100.000 habitantes, seguidas das Superintendências Oeste, Norte, Sul, Central e Leste (**Tabela 10**).

Tabela 10. Coeficiente de detecção de hepatite C, por 100.000 habitantes, segundo local de residência e ano de notificação. Distrito Federal, 2008 a 2018.

| Superintendência | 2008 | 2009 | 2010 | 2011 | 2012 | 2013 | 2014 | 2015 | 2016 | 2017 | 2018 |
|-------------------------|-------------|-------------|-------------|-------------|-------------|-------------|-------------|-------------|-------------|-------------|-------------|
| CENTRAL | 6,0 | 7,3 | 6,4 | 4,9 | 6,2 | 8,3 | 5,4 | 2,4 | 26,8 | 3,2 | 2,9 |
| Asa Norte | 6,7 | 9,9 | 5,8 | 1,6 | 4,0 | 8,3 | 5,9 | 2,9 | 36,1 | 2,6 | 4,0 |
| Asa Sul | 4,0 | 6,3 | 8,3 | 9,3 | 13,7 | 7,4 | 7,2 | 3,0 | 27,2 | 4,5 | 3,7 |
| Cruzeiro | 6,0 | 5,9 | 14,3 | 11,3 | 5,6 | 18,4 | 2,6 | 2,5 | 7,3 | 6,8 | 2,3 |
| Lago Norte | 17,8 | 7,0 | 9,3 | 6,1 | 3,0 | 8,5 | 8,2 | 2,7 | 23,3 | 4,8 | 0,0 |
| Lago Sul | 6,7 | 13,2 | 3,4 | 3,3 | 6,6 | 3,1 | 5,9 | 2,9 | 33,4 | 2,6 | 2,6 |
| Sudoeste/Oct | 3,5 | 3,4 | 0,0 | 2,0 | 1,9 | 5,5 | 1,8 | 0,0 | 20,5 | 0,0 | 1,6 |
| Varjão do Torto | 0,0 | 0,0 | 0,0 | 0,0 | 0,0 | 9,9 | 0,0 | 0,0 | 0,0 | 0,0 | 0,0 |
| CENTRO-SUL | 8,0 | 7,1 | 6,3 | 6,9 | 5,7 | 6,4 | 5,0 | 2,9 | 22,2 | 3,5 | 5,2 |
| Candangolândia | 0,0 | 11,8 | 6,3 | 6,2 | 30,5 | 5,8 | 0,0 | 16,6 | 37,9 | 0,0 | 10,4 |
| Guará | 8,9 | 5,1 | 9,4 | 7,4 | 7,3 | 8,6 | 6,7 | 1,6 | 26,9 | 7,3 | 5,3 |
| Núcleo Bandeirante | 14,5 | 14,2 | 8,1 | 12,0 | 0,0 | 11,2 | 11,0 | 0,0 | 24,4 | 0,0 | 6,7 |
| Park Way | 0,0 | 0,0 | 5,2 | 0,0 | 5,1 | 4,8 | 0,0 | 0,0 | 43,9 | 0,0 | 4,2 |
| Riacho Fundo I | 6,3 | 9,2 | 5,6 | 8,2 | 2,7 | 0,0 | 10,1 | 4,9 | 16,9 | 4,4 | 4,6 |
| Riacho Fundo II | 14,1 | 0,0 | 0,0 | 0,0 | 2,7 | 2,6 | 0,0 | 5,0 | 9,8 | 0,0 | 7,1 |
| SCIA (Estrutural) | 5,7 | 16,6 | 3,3 | 13,0 | 0,0 | 9,2 | 0,0 | 0,0 | 2,9 | 0,0 | 0,0 |
| SIA | 0,0 | 38,4 | 0,0 | 0,0 | 0,0 | 0,0 | 0,0 | 0,0 | 0,0 | 0,0 | 0,0 |
| LESTE | 7,9 | 20,2 | 6,8 | 12,0 | 11,3 | 5,4 | 3,5 | 5,7 | 7,7 | 3,1 | 2,1 |
| Itapoã | 0,0 | 0,0 | 0,0 | 4,3 | 10,7 | 6,2 | 0,0 | 0,0 | 5,9 | 3,5 | 1,9 |
| Jardim Botânico | 0,0 | 10,7 | 5,1 | 5,0 | 4,9 | 0,0 | 0,0 | 0,0 | 4,3 | 4,0 | 0,0 |
| Paranoá | 0,0 | 0,0 | 0,0 | 8,9 | 10,6 | 1,7 | 1,6 | 9,7 | 4,8 | 4,3 | 3,1 |
| São Sebastião | 22,6 | 54,7 | 15,2 | 19,6 | 13,7 | 8,7 | 7,5 | 7,4 | 11,4 | 1,9 | 2,0 |
| NORTE | 8,7 | 15,1 | 10,9 | 13,4 | 7,9 | 6,7 | 6,0 | 3,5 | 11,3 | 4,3 | 3,3 |
| Fercal | 0,0 | 0,0 | 0,0 | 0,0 | 0,0 | 0,0 | 0,0 | 0,0 | 9,8 | 0,0 | 9,5 |
| Planaltina | 10,5 | 12,5 | 12,2 | 16,1 | 7,9 | 6,5 | 7,4 | 4,7 | 9,7 | 1,4 | 3,0 |
| Sobradinho | 13,4 | 24,9 | 10,4 | 16,7 | 6,3 | 6,0 | 9,3 | 1,1 | 16,7 | 11,3 | 6,4 |
| Sobradinho II | 2,3 | 13,4 | 9,6 | 5,4 | 10,7 | 8,9 | 0,0 | 3,6 | 9,5 | 4,3 | 0,0 |
| OESTE | 4,1 | 5,9 | 6,7 | 6,6 | 6,3 | 4,4 | 5,1 | 2,7 | 7,7 | 4,0 | 4,0 |
| Brazlândia | 3,3 | 4,9 | 5,2 | 5,1 | 8,4 | 0,0 | 6,3 | 1,5 | 1,5 | 1,4 | 1,5 |
| Ceilândia | 4,2 | 6,0 | 7,0 | 6,8 | 6,0 | 5,0 | 4,9 | 2,9 | 8,6 | 4,3 | 4,4 |
| SUDOESTE | 3,3 | 10,3 | 8,3 | 8,1 | 8,0 | 6,8 | 9,0 | 4,7 | 13,7 | 3,6 | 5,2 |
| Águas Claras | 1,9 | 9,2 | 2,9 | 1,0 | 5,7 | 4,5 | 6,2 | 2,6 | 22,0 | 2,3 | 0,8 |
| Recanto das Emas | 3,2 | 11,0 | 7,2 | 18,1 | 11,6 | 8,9 | 8,0 | 5,0 | 4,2 | 6,4 | 7,5 |
| Samambaia | 5,0 | 8,2 | 6,0 | 6,4 | 6,8 | 7,0 | 10,9 | 7,1 | 11,0 | 3,6 | 3,0 |
| Taguatinga | 3,3 | 13,7 | 16,3 | 9,2 | 9,1 | 7,2 | 10,6 | 4,3 | 19,7 | 3,5 | 7,2 |
| Vicente Pires | 0,0 | 0,0 | 0,0 | 1,7 | 4,9 | 4,7 | 4,6 | 1,5 | 7,3 | 0,0 | 8,5 |
| SUL | 2,8 | 6,0 | 13,1 | 7,0 | 7,3 | 4,8 | 3,9 | 3,2 | 10,3 | 4,1 | 3,0 |
| Gama | 2,2 | 5,7 | 5,2 | 7,4 | 5,8 | 5,5 | 2,7 | 3,3 | 12,2 | 5,9 | 3,7 |
| Santa Maria | 3,7 | 6,3 | 22,0 | 6,7 | 9,0 | 3,9 | 5,4 | 3,0 | 8,1 | 2,0 | 2,1 |

| | | | | | | | | | | | | |
|--------------|------------|-------------|------------|------------|------------|------------|------------|------------|-------------|------------|------------|----|
| Em Branco | ** | ** | ** | ** | ** | ** | ** | ** | ** | ** | ** | ** |
| Total | 5,6 | 10,0 | 8,4 | 8,3 | 7,6 | 6,3 | 6,1 | 3,7 | 15,0 | 4,2 | 4,1 | |

Fonte: SINAN: Dados provisórios digitados até 22/05/2019.

Em relação à hepatite C, segundo faixa etária, verifica-se que entre os indivíduos do sexo masculino a faixa etária predominante é a de 40 a 49 anos (35,3%), ao passo que entre indivíduos do sexo feminino a faixa etária predominante é a de 50 a 59 anos (22,9%) (Tabela 11).

Tabela 11. Distribuição de casos confirmados de hepatite C, segundo faixa etária e sexo. Distrito Federal, 2008 a 2018.

| Faixa Etária | 2008 | 2009 | 2010 | 2011 | 2012 | 2013 | 2014 | 2015 | 2016 | 2017 | 2018 | Total |
|----------------|------------|------------|------------|------------|------------|------------|------------|------------|------------|------------|------------|-------------|
| Menor 1 ano | 2 | 1 | 2 | 2 | 2 | 0 | 1 | 0 | 0 | 1 | 1 | 12 |
| 1 a 4 anos | 0 | 0 | 0 | 1 | 0 | 0 | 0 | 0 | 0 | 0 | 0 | 1 |
| 5 a 9 anos | 1 | 0 | 0 | 0 | 0 | 1 | 0 | 0 | 0 | 0 | 0 | 2 |
| 10 a 14 anos | 1 | 3 | 1 | 0 | 1 | 0 | 0 | 0 | 0 | 1 | 0 | 7 |
| 15 a 19 anos | 1 | 3 | 7 | 9 | 7 | 4 | 0 | 0 | 3 | 3 | 2 | 39 |
| 20 a 29 anos | 11 | 27 | 22 | 46 | 27 | 13 | 9 | 9 | 12 | 10 | 8 | 194 |
| 30 a 39 anos | 31 | 50 | 46 | 48 | 41 | 26 | 20 | 15 | 34 | 20 | 20 | 351 |
| 40 a 49 anos | 51 | 89 | 66 | 57 | 58 | 58 | 62 | 33 | 101 | 39 | 31 | 645 |
| 50 a 59 anos | 24 | 61 | 48 | 37 | 40 | 46 | 49 | 31 | 167 | 37 | 32 | 572 |
| 60 a 69 anos | 14 | 22 | 23 | 12 | 19 | 22 | 24 | 15 | 96 | 12 | 25 | 284 |
| 70 a 79 anos | 5 | 4 | 1 | 5 | 5 | 6 | 9 | 4 | 29 | 3 | 4 | 75 |
| 80 anos e mais | 1 | 0 | 0 | 0 | 1 | 1 | 1 | 0 | 4 | 1 | 3 | 12 |
| Total | 142 | 260 | 216 | 217 | 201 | 177 | 175 | 107 | 446 | 127 | 126 | 2194 |

Masculino

| Faixa Etária | 2008 | 2009 | 2010 | 2011 | 2012 | 2013 | 2014 | 2015 | 2016 | 2017 | 2018 | Total |
|----------------|-----------|------------|------------|-----------|------------|------------|------------|-----------|------------|-----------|-----------|-------------|
| Menor 1 ano | 1 | 1 | 0 | 0 | 1 | 0 | 1 | 0 | 0 | 1 | 1 | 6 |
| 1 a 4 anos | 0 | 0 | 0 | 1 | 0 | 0 | 0 | 0 | 0 | 0 | 0 | 1 |
| 5 a 9 anos | 0 | 0 | 0 | 0 | 0 | 1 | 0 | 0 | 0 | 0 | 0 | 1 |
| 10 a 14 anos | 0 | 0 | 0 | 0 | 0 | 0 | 0 | 0 | 0 | 1 | 0 | 1 |
| 15 a 19 anos | 1 | 2 | 3 | 1 | 6 | 1 | 0 | 0 | 0 | 1 | 2 | 17 |
| 20 a 29 anos | 5 | 9 | 6 | 14 | 3 | 5 | 4 | 5 | 4 | 7 | 3 | 65 |
| 30 a 39 anos | 18 | 32 | 25 | 16 | 23 | 12 | 14 | 8 | 20 | 13 | 12 | 193 |
| 40 a 49 anos | 36 | 70 | 51 | 38 | 39 | 42 | 43 | 28 | 73 | 27 | 18 | 465 |
| 50 a 59 anos | 17 | 30 | 30 | 17 | 19 | 28 | 32 | 20 | 122 | 31 | 25 | 371 |
| 60 a 69 anos | 8 | 14 | 10 | 3 | 10 | 9 | 18 | 8 | 56 | 6 | 12 | 154 |
| 70 a 79 anos | 3 | 3 | 1 | 4 | 1 | 3 | 2 | 1 | 15 | 0 | 2 | 35 |
| 80 anos e mais | 1 | 0 | 0 | 0 | 1 | 0 | 1 | 0 | 2 | 1 | 1 | 7 |
| Total | 90 | 161 | 126 | 94 | 103 | 101 | 115 | 70 | 292 | 88 | 76 | 1316 |

Feminino

| Faixa Etária | 2008 | 2009 | 2010 | 2011 | 2012 | 2013 | 2014 | 2015 | 2016 | 2017 | 2018 | Total |
|--------------|------|------|------|------|------|------|------|------|------|------|------|-------|
| Menor 1 ano | 1 | 0 | 2 | 2 | 1 | 0 | 0 | 0 | 0 | 0 | 0 | 6 |
| 1 a 4 anos | 0 | 0 | 0 | 0 | 0 | 0 | 0 | 0 | 0 | 0 | 0 | 0 |
| 5 a 9 anos | 1 | 0 | 0 | 0 | 0 | 0 | 0 | 0 | 0 | 0 | 0 | 1 |
| 10 a 14 anos | 1 | 3 | 1 | 0 | 1 | 0 | 0 | 0 | 0 | 0 | 0 | 6 |
| 15 a 19 anos | 0 | 1 | 4 | 8 | 1 | 3 | 0 | 0 | 3 | 2 | 0 | 22 |



| | | | | | | | | | | | | |
|----------------|-----------|-----------|-----------|------------|-----------|-----------|-----------|-----------|------------|-----------|-----------|------------|
| 20 a 29 anos | 6 | 18 | 16 | 32 | 24 | 8 | 5 | 4 | 8 | 3 | 5 | 129 |
| 30 a 39 anos | 13 | 18 | 21 | 32 | 18 | 14 | 6 | 7 | 14 | 7 | 8 | 158 |
| 40 a 49 anos | 15 | 19 | 15 | 19 | 19 | 16 | 19 | 5 | 28 | 12 | 13 | 180 |
| 50 a 59 anos | 7 | 31 | 18 | 20 | 21 | 18 | 17 | 11 | 45 | 6 | 7 | 201 |
| 60 a 69 anos | 6 | 8 | 13 | 9 | 9 | 13 | 6 | 7 | 40 | 6 | 13 | 130 |
| 70 a 79 anos | 2 | 1 | 0 | 1 | 4 | 3 | 7 | 3 | 14 | 3 | 2 | 40 |
| 80 anos e mais | 0 | 0 | 0 | 0 | 0 | 1 | 0 | 0 | 2 | 0 | 2 | 5 |
| Total | 52 | 99 | 90 | 123 | 98 | 76 | 60 | 37 | 154 | 39 | 50 | 878 |

Fonte: SINAN: Dados provisórios digitados até 22/05/2019.

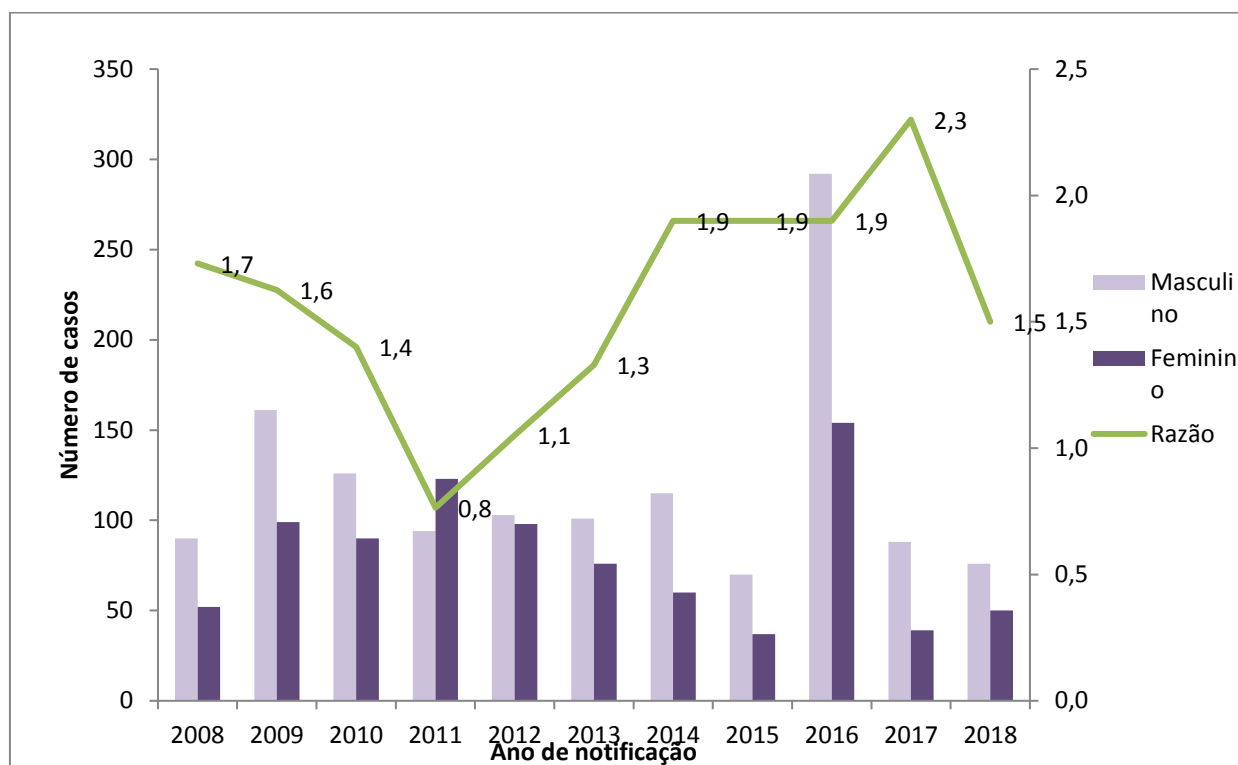
A razão entre os sexos masculino e feminino (M:F) está na média de 1,5 homens para cada mulher com hepatite C. Ambos os sexos apresentam variações no coeficiente de detecção ao longo dos anos mantendo em sua maioria maior distribuição no sexo masculino (**Tabela 12 e gráfico 3**).

Tabela 12. Distribuição de casos confirmados de hepatite C, por sexo e ano de notificação; razão e coeficiente de detecção por 100.000 habitantes), Distrito Federal, 2008 a 2018.

| Ano da Notificação | Número de casos | | | Razão | Coeficiente de detecção | | |
|--------------------|-----------------|------------|-------------|------------|-------------------------|------------|------------|
| | Masculino | Feminino | Total | | Masculino | Feminino | Total |
| 2008 | 90 | 52 | 142 | 1,7 | 7,4 | 3,9 | 5,6 |
| 2009 | 161 | 99 | 260 | 1,6 | 12,9 | 7,3 | 10,0 |
| 2010 | 126 | 90 | 216 | 1,4 | 10,3 | 6,7 | 8,4 |
| 2011 | 94 | 123 | 217 | 0,8 | 7,5 | 9,0 | 8,3 |
| 2012 | 103 | 98 | 201 | 1,1 | 8,1 | 7,1 | 7,6 |
| 2013 | 101 | 76 | 177 | 1,3 | 7,6 | 5,2 | 6,3 |
| 2014 | 115 | 60 | 175 | 1,9 | 8,5 | 4,0 | 6,1 |
| 2015 | 70 | 37 | 107 | 1,9 | 5,1 | 2,4 | 3,7 |
| 2016 | 292 | 154 | 446 | 1,9 | 20,7 | 9,8 | 15,0 |
| 2017 | 88 | 39 | 127 | 2,3 | 6,1 | 2,4 | 4,2 |
| 2018 | 76 | 50 | 126 | 1,5 | 5,2 | 3,1 | 4,1 |
| Total | 1316 | 878 | 2194 | 1,5 | 9,0 | 5,5 | 7,2 |

Fonte: SINAN: Dados provisórios digitados até 22/05/2019.





Fonte: SINAN: Dados provisórios digitados até 22/05/2019.

Gráfico 3. Distribuição de casos confirmados de hepatite C, por sexo e ano de notificação. Distrito Federal, 2008 a 2018.

De 2008 a 2018, foram identificados no DF, 114 gestantes com hepatite C, o que representa 5,2% do total de casos nesse período. Ressalta-se que a maior parte dos

diagnósticos foi feita no segundo ou no terceiro trimestre (75,4%). Somente 23,7% do total de casos foram diagnosticados no primeiro trimestre (**Tabela 13**).

Tabela 13. Distribuição de casos confirmados de hepatite C em gestantes, por trimestre de diagnóstico. Distrito Federal, 2018.

| Gestante | 2008 | 2009 | 2010 | 2011 | 2012 | 2013 | 2014 | 2015 | 2016 | 2017 | 2018 | Total |
|----------------------------|----------|-----------|-----------|-----------|-----------|----------|----------|----------|----------|----------|----------|------------|
| 1º Trimestre | 1 | 6 | 0 | 8 | 6 | 1 | 3 | 0 | 1 | 0 | 1 | 27 |
| 2º Trimestre | 1 | 8 | 6 | 13 | 10 | 4 | 3 | 3 | 1 | 0 | 2 | 51 |
| 3º Trimestre | 1 | 3 | 4 | 15 | 9 | 0 | 0 | 1 | 1 | 1 | 0 | 35 |
| Idade gestacional ignorada | 0 | 0 | 0 | 0 | 0 | 0 | 0 | 0 | 1 | 0 | 0 | 1 |
| Total | 3 | 17 | 10 | 36 | 25 | 5 | 6 | 4 | 4 | 1 | 3 | 114 |

Fonte: SINAN: Dados provisórios digitados até 22/05/2019.

Quanto ao critério forma clínica, percebe-se que, do total de casos detectados, a hepatite C aguda representa 5,8% dos

casos, a hepatite C crônica 81,9% e a forma fulminante 0,1% (**Tabela 14**).



Tabela 14. Distribuição de casos confirmados de hepatite C, segundo forma clínica e ano de notificação. Distrito Federal, 2008 a 2018.

| Forma Clínica | 2008 | 2009 | 2010 | 2011 | 2012 | 2013 | 2014 | 2015 | 2016 | 2017 | 2018 | Total |
|---------------------------|------------|------------|------------|------------|------------|------------|------------|------------|------------|------------|------------|-------------|
| Hepatite Aguda | 10 | 11 | 12 | 18 | 21 | 10 | 13 | 6 | 8 | 7 | 12 | 128 |
| Hepatite Crônica/Portador | 119 | 234 | 182 | 179 | 160 | 148 | 146 | 91 | 322 | 113 | 103 | 1797 |
| Hepatite Fulminante | 0 | 0 | 0 | 0 | 0 | 0 | 0 | 0 | 2 | 0 | 1 | 3 |
| Inconclusivo | 6 | 5 | 22 | 11 | 9 | 4 | 9 | 3 | 4 | 2 | 4 | 79 |
| Ign/Branco | 7 | 10 | 0 | 9 | 11 | 15 | 7 | 7 | 110 | 5 | 6 | 187 |
| Total | 142 | 260 | 216 | 217 | 201 | 177 | 175 | 107 | 446 | 127 | 126 | 2194 |

Fonte: SINAN: Dados provisórios digitados até 22/05/2019.

Epidemiologia da hepatite D

O vírus da hepatite delta (VHD) é um vírus de RNA defectivo que exige a coinfeção com o HBV para replicar. O genoma do HDV é encapsulado pelo antígeno de superfície da hepatite B (HBsAg), o qual forma o envelope viral. O vírus da hepatite delta apresenta-se em oito genótipos (HDV-1 a HDV-8). Apesar de existir vacina eficaz contra o HBV e que em algumas regiões a prevalência da infecção pelo HDV diminuiu desde a introdução da vacinação contra o HBV, essas infecções continuam a ser um grave problema de

saúde em várias regiões do mundo. No Distrito Federal, no período de 2008 a 2018, tiveram apenas 2 casos notificados. Sendo que, desses 11 anos analisados, em nove, não houve nenhum caso notificado no Sinan (**Tabela 1**).

Considerações finais

As informações presentes neste informativo têm como objetivos subsidiar o planejamento e aprimoramento das ações de atenção, prevenção e vigilância das hepatites virais no Distrito Federal, assim como auxiliar na elaboração de hipóteses sobre os padrões de ocorrência dessas doenças.

Referências bibliográficas

ARAÚJO, Ana Ruth Silva de et al. Análise quantitativa dos antígenos de superfície do vírus da hepatite B em portadores de hepatite B em associação com vírus da hepatite D no Amazonas. **Revista de ciências da saúde da Amazônia**, Manaus, n. 1, p. 2-15, set. 2018.

BANDEIRA, Livia Liberata Barbosa et al. Epidemiologia das hepatites virais por classificação etiológica. **Revista da Sociedade Brasileira de Clínica Médica**, São Paulo, v. 16, n. 4, p.227-231, dez. 2018.

BOCHNER, Rosany et al. Qualidade Da Informação: A Importância do Dado Primário, O Princípio de Tudo. In: XII ENCONTRO NACIONAL DE PESQUISA EM CIÊNCIA DA INFORMAÇÃO, Brasília, out. 2011. Disponível em: <

https://www.arca.fiocruz.br/bitstream/icict/3276/1/Bochner_etal_ENANCIB_2011.pdf > Acesso em: 24/05/2019.

BRASIL. Ministério da Saúde. **Guia De Vigilância Em Saúde**. Volume único. 2ª edição. Brasília, 2017.

BRASIL. Ministério da Saúde. **Protocolo Clínico e Diretrizes Terapêuticas para Atenção Integral às Pessoas com Infecções Sexualmente Transmissíveis**. 2ª edição. Brasília, 2015.

BRASIL. Ministério da Saúde. **Protocolo Clínico e Diretrizes Terapêuticas Para Hepatite C E Coinfecções**. 1ª edição. Brasília, 2019.

BRASIL. Ministério da Saúde. **Protocolo Clínico e Diretrizes Terapêuticas para Hepatite B e Coinfecções**. 1ª edição. Brasília, 2017.



CAETANO, Simone Fonseca; VANDERLEI, Lygia Carmen de Moraes; FRIAS, Paulo Germano de. Avaliação da completude dos Instrumentos de Investigação do Óbito

FARIAS, Cleilton Sampaio de; OLIVEIRA, Ricardo Antunes Dantas de; LUZ, Maurício Roberto Motta Pinto da. As Hepatites Virais No Brasil: Uma Análise A Partir Dos Seus MELLO, Rodolpho F. et al. Revisão Sobre A Epidemiologia Da Hepatite B No Estado Do Rio De Janeiro. **Revista Caderno de Medicina**, v. 2, n. 1, p. 139-147, 2019.

OLIVEIRA, Thaysa Johanne Borges et al. Perfil epidemiológico dos casos de hepatite C em um hospital de referência em doenças infectocontagiosas no estado de Goiás, Brasil. **Revista Pan-Amazônica de Saúde**, Ananindeua, v. 9, n. 1, p. 51-57, mar. 2018.

PEREIRA, Ívina Lorena Leite et al. Hepatites em pessoas privadas de liberdade: revisão sistemática. **Brazilian Journal**

Infantil no município de Arapiraca, Alagoas. **Cad. Saúde Coletiva**, Rio de Janeiro, v. 21, n. 3, p. 309-317, set. 2013.

Territórios. **Revista Ra'e Ga - O Espaço Geográfico em Análise**, Curitiba, v.46, n. 1, p. 90 -109, mar. 2019.

of Health Review, Curitiba, v. 2, n. 3, p. 2095-2106, mai. 2019.

ROMERO, Renata Olivia Gadelha et al. Subnotificação de casos de tuberculose a partir da vigilância do óbito. **Revista Eletrônica de Enfermagem**, Goiânia, v.18, mai. 2016. Disponível em: <https://revistas.ufg.br/fen/article/view/37249/21345> Acesso em: 24/05/2019.



Subsecretaria de Vigilância à Saúde – SVS

Divino Valero Martins – Subsecretário

Diretoria de Vigilância Epidemiológica – DIVEP

Elaboração :

Vanessa Cavalcante de Sena – Enfermeira - área técnica de vigilância epidemiológica das Hepatites virais.

Ludmila Amabele Syrio e Oliveira Herrmann – Enfermeira – área técnica de vigilância epidemiológica de AIDS.

Revisão e colaboração:

Rosângela Maria Magalhães Ribeiro – Gerente - Gerência de Vigilância de Infecções Sexualmente Transmissíveis – **GEVIST**

Carina Leão de Matos – Médica - Gerência de Vigilância de Infecções Sexualmente Transmissíveis – **GEVIST**

Ricardo Gadelha de Abreu – Assessor técnico - Diretoria de Vigilância Epidemiológica – **DIVEP**

Endereço:

Estádio Nacional de Brasília Mané Garrincha

SRPN – Asa Norte

Entrada Portão 5 – Nível A – sala 9

CEP: 70.070-701 - Brasília/DF

E-mail: qvist.divep@saude.df.gov.br

